

О ВЗАИМОДЕЙСТВИИ ВОЗДУШНОГО ПОТОКА С ПОПЕРЕЧНОЙ ГАЗОВОЙ СТРУЕЙ, ВЫТЕКАЮЩЕЙ ИЗ ОТВЕРСТИЯ В ПЛАСТИНЕ

З. Г. ГАЛАНОВА, Е. Д. КОСТРЮКОВА, В. Н. САГАЛОВИЧ
(Москва)

Рассматривается взаимодействие сверхзвукового потока с инжектируемой по нормали к поверхности пластины осесимметричной струей воздуха. Предполагается, что пластина имеет достаточно большие размеры, так что зоны перераспределения статического давления, обуславливающие возникновение дополнительной боковой силы, целиком размещаются на ее поверхности.

В качестве системы определяющих параметров выбираются следующие размерные параметры: ρ_∞ , p_∞ , u_∞ , μ_∞ — плотность, статическое давление, скорость и вязкость набегающего потока, ρ_j , p_j , u_j — плотность, статическое давление и скорость инжектируемой струи, L — расстояние от передней кромки пластины до центра отверстия, d — диаметр отверстия. Из девяти указанных параметров имеется только три параметра (например, ρ_∞ , u_∞ , L) с независимыми размерностями. Следовательно, в силу П-теоремы [4] явление может быть описано с помощью шести безразмерных комбинаций. В качестве системы независимых безразмерных величин выбираются такие комбинации определяющих параметров:

$$R = \frac{\rho_\infty u_\infty L}{\mu_\infty}, \quad M_\infty = \frac{u_\infty}{\sqrt{\gamma p_\infty / \rho_\infty}}, \quad M_j = \frac{u_j}{\sqrt{\gamma p_j / \rho_j}}, \quad \Lambda = \frac{\rho_j u_j d^2}{\rho_\infty u_\infty L^2}, \quad \frac{p_j}{p_\infty}, \quad \frac{L}{d}$$

где γ — показатель адиабаты.

Так как размерность полной (т. е. с учетом реакции струи) боковой силы F , действующей нормально поверхности пластины, совпадает с размерностью произведения $P_j d^2$, можно записать

$$\frac{F}{P_j d^2} = f_1 \left(R, M_\infty, M_j, \Lambda, \frac{p_j}{p_\infty}, \frac{L}{d} \right) \quad (1)$$

Относительное влияние различных безразмерных комплексов в соотношении (1) можно оценить с помощью имеющихся в литературе сведений. В дальнейшем ограничимся наиболее изученным случаем инжекции высоконапорной звуковой струи ($M_j = 1$).

В работах [1, 5] сделан вывод об относительно слабой зависимости от числа Рейнольдса. Путем варьирования размера отверстия инжекции при постоянном значении комплекса Λ в работе [6] показано отсутствие изменений распределения давлений по поверхности пластины при соответствующем изменении отношений P_j / P_∞ и L / d . Отсутствие влияния P_j / P_∞ и L / d на боковую силу подтверждают также многочисленные эксперименты в соплах [2].

Таким образом, можно заключить, что из выписанных выше шести безразмерных комбинаций существенными для рассматриваемой задачи являются только M_∞ и Λ .

Введем теперь понятие о коэффициенте усиления K , как об отношении полной боковой силы к тяге струи в вакууме F_v

$$p_j d^2 \sim F_v, \quad \Lambda \sim \frac{m u_\infty}{p_\infty L^2} \frac{1}{M_\infty^2} \quad (m = 1/4\pi d^2 \rho_j u_j)$$

(где m — массовый расход струи), приходим к следующей функциональной зависимости для коэффициента усиления

$$K = f_2(M_\infty, \Phi_0), \quad \Phi_0 = \frac{m u_\infty}{p_\infty L^2} \frac{1}{M_\infty^2} \quad (2)$$

Произведение

$$M_\infty^2 \Phi_0 = \frac{m u_\infty}{p_\infty L^2 / M_\infty^2 M_\infty^2}$$

пропорционально отношению потерянного основным потоком количества движения ($m u_\infty$) к начальному количеству движения той части основного потока, которая взаимодействует со струей ($\gamma p_\infty L^2 / M_\infty^2 M_\infty^2$)¹. Естественно предположить, что именно это произведение определяет величину коэффициента усиления.

¹ Согласно [5] линейный масштаб указанной области пропорционален L / M_∞ .

Следовательно, зависимость (2) может быть переписана в виде

$$K = \varphi(M_\infty^2 \Phi_0) = \varphi(\Phi) \quad \left(\Phi = M_\infty^2 \Phi_0 = \frac{m u_\infty}{p_\infty L^2} \right) \quad (3)$$

Для сопоставления полученного соотношения (3) с опытом использовались как данные зарубежных исследователей [2], так и результаты экспериментов, проведенных авторами.

На фигуре приведена зависимость коэффициента усиления от определенного выше параметра Φ . (Условные обозначения и соответствующие данные имеются в таблице.) Обозначения 3 и 6 отвечают турбулентному, 4 и 5 — ламинарному пограничному слою.

Источник	Обозначение	R	L/d	p_{0j}/p_∞	M_∞	$d, \text{мм}$
Родригес [2]	1	—	—	—	4.18	9.5 и 18
	2	—	—	—	4.5	9.5
Амик [2]	3	—	—	—	—	6.4
	4	$0.37 \cdot 10^6$	19.7	10÷26	3.85	3.23
	5	—	10	—	—	6.4
Данная работа	6	$5.6 \cdot 10^6$	14.7	12÷50	3.02	4.0

Результаты Амика и Родригеса заимствованы из статьи [2].

Следует отметить, что хотя Родригес исследовал инжекцию струи в коническое сопло, предположительно [2] влияние кривизны стенок сопла не было существенным в его опытах.

При обсчете результатов Родригеса скорость и давление основного потока в сечении инжекции находились по одномерной теории, а в качестве характерной длины L выбиралось расстояние от критического сечения сопла до центра отверстия инжекции.

В опытах данной работы сверхзвуковой поток создавался с помощью конического сопла с полууглом раствора 15° . (Значение $M_\infty = 3.02$ отвечает расчету по одномерной теории.)

Для замера распределения статического давления пластина была дренирована в продольном и поперечном направлениях. Это позволило надежно выбирать режимы, на которых зоны перераспределения статического давления при инжекции струи целиком размещались на поверхности пластины. При обсчете результатов экспериментов в качестве давления p_∞ выбиралось давление в точке, лежащей на оси симметрии пластины в 9 мм вверх по течению от центра отверстия. Во всех опытах $p_\infty = 0.43 \text{ ата}$. Результирующая боковая сила замерялась с помощью тензодатчиков обычным способом.

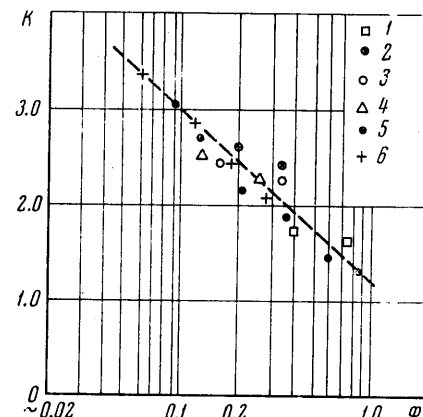
Из фигуры видно, что параметр $\Phi = m u_\infty / p_\infty L^2$ действительно позволяет провести корреляцию известных экспериментальных данных, полученных в довольно широком диапазоне изменения характеристических параметров. Опытные точки удовлетворительно группируются при $0.06 \leq \Phi \leq 0.9$ возле прямой $K = -1.87 \lg \Phi + 1.12$, нанесенной на фигуре пунктиром.

В заключение отметим очевидную качественную аналогию между результатами, полученными в данной работе, и выводами статьи [5], посвященной определению сил в передней зоне двумерных струй, инжектируемых в сверхзвуковой поток.

ЛИТЕРАТУРА

- Zukoski E. E., Spaid F. W. Secondary injection of gases into a supersonic flow. AIAA Journal, 1964, vol. 1, No. 2.
- Broadwell J. E. Analysis of the fluid mechanics of secondary injection for thrust vector control. AIAA Journal, 1963, vol. 1, No. 5.

Поступило 24 X 1968



3. Глаголев А. И., Зубков А. И., Панов Ю. А. Обтекание струйного газообразного препятствия на пластине сверхзвуковым потоком. Изв. АН СССР, МЖГ, 1967, № 3.
4. Седов Л. И. Методы подобия и размерности в механике. М., Гостехиздат, 1957.
5. Hawk N. E., Amick J. L. Two-dimensional secondary jet interaction with a supersonic stream. AIAA Journal, 1967, vol. 5, No. 4.
6. Sprald F. W., Zukowski E. E. Further Experiments concerning secondary injection of gases into a supersonic flow. AIAA Journal, 1966, vol. 4, No. 12.

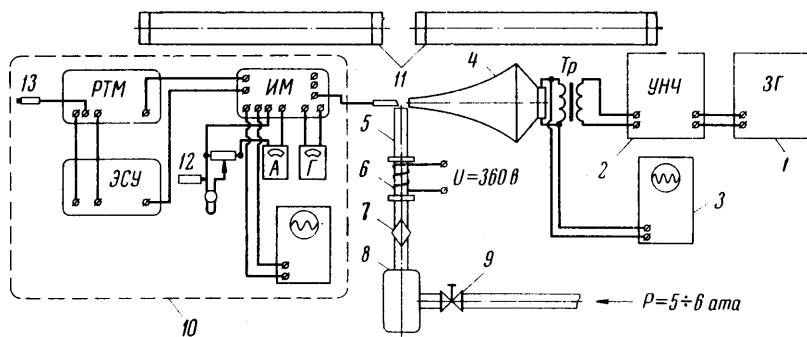
АКУСТИЧЕСКОЕ ВОЗДЕЙСТВИЕ НА КОРНЕВУЮ ЧАСТЬ ТУРБУЛЕНТНОЙ СТРУИ

Н. И. ИВАНОВ

(Москва)

Приведены результаты экспериментальных исследований воздействия низкочастотных акустических возмущений различной частоты и постоянной интенсивности на корневую часть неизотермической дозвуковой турбулентной струи, истекающей из прямоструйной форсунки с коническим диффузором, в диапазоне чисел Струхала 0.031—0.054.

Приведены экспериментальные зависимости средней скорости и продольной интенсивности турбулентности как для невозмущенного течения, так и для течения в акустическом поле в функции от различных параметров.



Фиг. 1

В последнее время в работах [1—4] были показаны результаты исследований, посвященных изучению турбулентных струй и пламен при воздействии акустических возмущений.

Так, например, в работе [1] показано, что такое воздействие на дозвуковую турбулентную струю наряду с другими эффектами приводит при определенных условиях как к увеличению, так и к уменьшению средней скорости и пульсаций потока. Можно предполагать, что такое изменение аэродинамических характеристик потока в камере сгорания, в свою очередь, приведет либо к более интенсивному перемешиванию компонентов и выгоранию топлива вблизи от среза топливоподающих форсунок, либо, наоборот, к ослаблению интенсификации турбулентного перемешивания.

Опытная установка и аппаратура. Схема установки, на которой проводились исследования, показана на фиг. 1. Здесь 1 — звуковой генератор ЗГ-14, 2 — усилитель низкой частоты, 3 — катодный осциллограф, 4 — акустическое устройство, 5 — форсунка, 6 — электроподогреватель, 7 — ротаметр, 8 — ресивер, 9 — вентиль, 10 — электротермоанемометр ЭТА-5А, 11 — теневой прибор ИАБ-451 (условно приподнят над форсункой и повернут на 90°), 12 — шлейф, 13 — подводка к электросети.

В качестве рабочего тела, подаваемого в струйную форсунку, использовался подогретый воздух, отбираемый из заводской сети низкого давления. Струйная форсунка конструктивно представляла собой трубку, скрепленную с коническим растребом. Диаметр трубки форсунки $d = 8 \text{ мм}$, выходной диаметр конического растреба $D = 2R = 12 \text{ мм}$, угол раскрытия конического растреба $2\alpha = 5^\circ$, а длина этого растреба 50 мм , или 6.25 калибра. Воздух подогревался электроподогревателем, при